

06.2

## Тонкопленочные структуры **PbSnTe : In/BaF<sub>2</sub>/CaF<sub>2</sub>/Si для монолитных матричных фотоприемных устройств дальнего ИК-диапазона**

© А.Н. Акимов, А.В. Беленчук, А.Э. Климов, М.М. Качанова,  
И.Г. Неизвестный, С.П. Супрун, О.М. Шаповал,  
В.Н. Шерстякова, В.Н. Шумский

Институт физики полупроводников СО РАН, Новосибирск

Институт электронной инженерии и промышленных технологий

АН Молдовы, Кишинев, Республика Молдова

E-mail: neizv@isp.nsc.ru

Поступило в Редакцию 17 октября 2008 г.

Впервые описано создание матричных фотоприемников форматом  $288 \times 2$  с размером элемента  $25 \times 25 \mu\text{m}$  на основе структур PbSnTe:In/BaF<sub>2</sub>/CaF<sub>2</sub>/Si и приведены пороговые характеристики этих структур. Обнаружительная способность около 90% элементов составляет от  $7.2 \cdot 10^{12}$  до  $8.7 \cdot 10^{12} \text{ cm} \cdot \text{Hz}^{0.5}/\text{W}$  при  $T = 21.2 \text{ K}$ . Разработанная технология открывает возможности создания монолитных матричных фотоприемных устройств дальнего ИК-диапазона.

PACS: 81.15.Hi, 85.60.Gz

Большинство монолитных матричных фотоприемных устройств (МФПУ), в которых фоточувствительные элементы и схема предварительной обработки фотосигнала изготовлены на одном и том же кристалле кремния, работают в видимом и ближнем инфракрасном (ИК) диапазоне. Серийно выпускаемые охлаждаемые МФПУ дальнего (до 12 и более  $\mu\text{m}$ ) ИК-диапазона являются гибридными, т. е. состоят из двух соединенных между собой полупроводниковых кристаллов: кремниевого кристалла схемы обработки фотосигнала (мультиплексора) и кристалла матрицы фотоприемников (ФП). Единственным применяемым в настоящее время способом сборки такого гибридного МФПУ является технология „флип-чип“ (перевернутого кристалла), основанная на использовании индивидуальных столбов [1]. Сборка гибридных МФПУ сама по себе является достаточно сложной операцией, поэтому

переход к МФПУ в интегральном исполнении является актуальной и перспективной задачей.

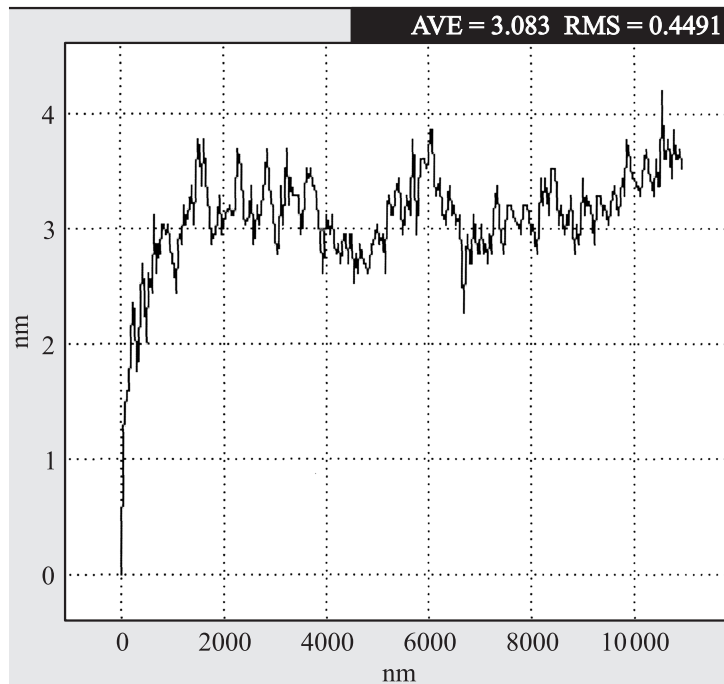
Исследования в этом направлении ведутся примерно с 80-х гг., а наиболее законченным результатом в этом направлении является создание монолитных МФПУ на основе структур Si/CaF<sub>2</sub>/BaF<sub>2</sub>/PbSnSe с областью чувствительности до 8–12 μm [2,3]. Однако эта разработка не нашла практического применения из-за более низких параметров фотодиодов на основе PbSnSe по сравнению с ФП на основе CdHgTe (КРТ), имеющими тот же диапазон спектральной чувствительности.

Известно, что фоторезисторы на основе PbSnTe : In обладают высокой чувствительностью и очень низкой проводимостью без освещения, что делает его перспективным материалом для решения ряда задач в области дальнего ИК- и субмиллиметрового диапазонов длин волн. Немаловажным достоинством этого материала является его радиационная стойкость: пленки PbSnTe : In выдерживают облучение быстрыми электронами с дозой около  $10^{17} \text{ cm}^{-2}$  без изменения своих параметров. Технология получения эпитаксиальных пленок PbSnTe : In на изолирующей подложке BaF<sub>2</sub> и послеростовой прецизионной доводке свойств этих пленок путем диффузионных отжигов приведена в [4]. Создание гибридных МФПУ форматом 128 × 2 и квазиматриц форматом 64 × 64 с высокими пороговыми характеристиками описано в [1,4].

Целью настоящей работы являлась разработка технологии молекулярно-лучевой эпитаксии структур PbSnTe : In/BaF<sub>2</sub>/CaF<sub>2</sub>/Si для создания монолитных матричных фотоприемных устройств ИК-диапазона и излучения их свойств.

Эпитаксия буферных слоев CaF<sub>2</sub> и BaF<sub>2</sub> проводилась на стандартных кремниевых подложках с ориентацией (111) и с удельным сопротивлением от  $7.5 \Omega \cdot \text{см}$  до  $30\text{--}40 \text{ k}\Omega \cdot \text{см}$ . В большинстве экспериментов сначала проводилось термическое окисление кремния до толщины окисла примерно 100 nm. Непосредственно перед загрузкой в установку молекулярно-лучевой эпитаксии (МЛЭ) после обезжиривания пластины слой SiO<sub>2</sub> удалялся в плавиковой кислоте. Далее проводились промывка в деионизированной воде, кипячение в HNO<sub>3</sub> и, наконец, окончательная промывка в деионизированной воде. Интервал между последней операцией и началом откачки шлюзовой камеры не превышал 2 min, что обеспечивало минимальное загрязнение поверхности кремния.

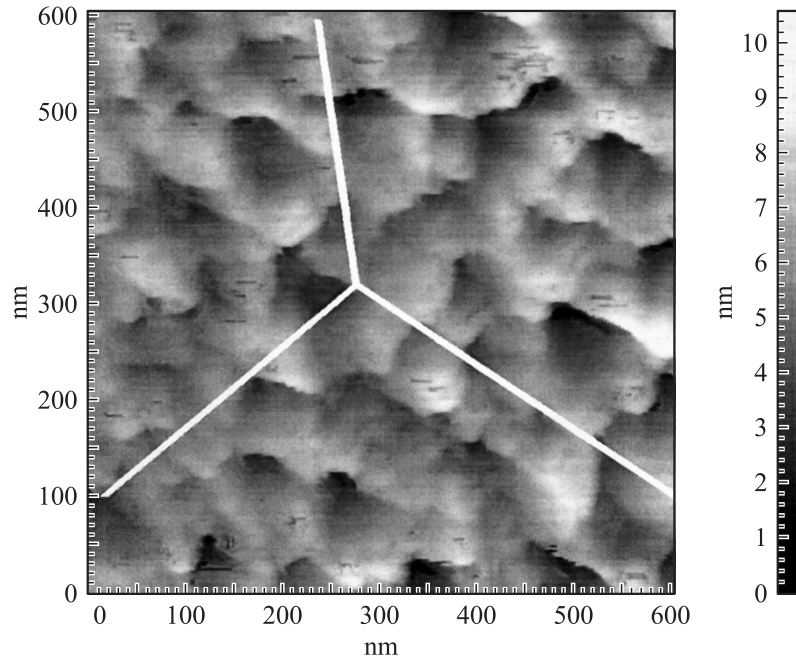
После снятия слоя окисла поверхность кремния исследовалась методом атомно-силовой микроскопии (ACM). Микрорельеф имеет



**Рис. 1.** Микрорельеф поверхности кремния после снятия слоя окисла.

шероховатость порядка  $0.5\text{ nm}$  (рис. 1). После отжига в установке МЛЭ на дифракционной картине наблюдались вытянутые рефлексы, что свидетельствует об атомарной гладкости поверхности. В ряде экспериментов с целью понижения температуры отжига кремния перед ростом буферных слоев применялась операция гидрогенизации поверхности. Прогрев гидрогенизированной поверхности в сверхзвуковом вакууме вел к полной очистке от всех заряднений при температуре примерно на  $100^\circ\text{C}$  ниже температуры обычного отжига кремния перед ростом.

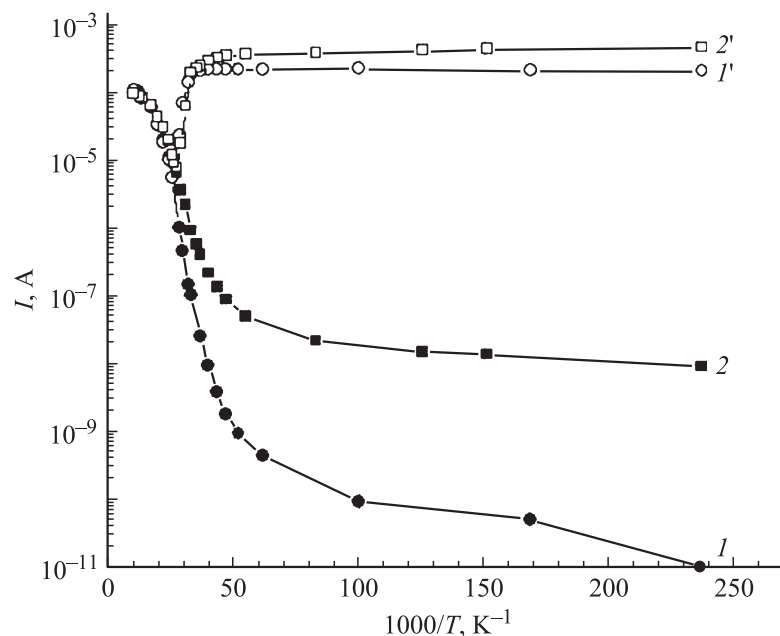
Толщина слоя  $\text{CaF}_2$  составляла  $69\text{--}70\text{ nm}$ , слоя  $\text{BaF}_2$  —  $130\text{--}140\text{ nm}$ . Атомно-силовое изображение фрагмента поверхности  $\text{BaF}_2$  показано на рис. 2. Шероховатость поверхности лежит в пределах  $10\text{ nm}$ , т.е. не превышает 5% от толщины буферного слоя. На поверхности полученных слоев отсутствовал характерный рисунок в виде правильных



**Рис. 2.** Атомно-силовое изображение фрагмента поверхности BaF<sub>2</sub>.

треугольников размером в несколько сотен нанометров, связанный с ориентацией подложки (111). Из рис. 2 видно, что характерный латеральный размер неоднородностей в нашем случае составил около 50 nm, а их форма неровная. Тем не менее из рисунка видно, что на поверхности можно выделить три симметричных направления, показанные белыми отрезками прямых, что соответствует ориентации использованных подложек. Для слоев CaF<sub>2</sub> толщиной 70 nm величина напряженности электрического поля пробоя  $E_0 = (0.9\text{--}1.2) \cdot 10^6$  V/cm, а для бинарных слоев CaF<sub>2</sub> + BaF<sub>2</sub> —  $E_0 = (1.5\text{--}5) \cdot 10^6$  V/cm.

Рост слоев PbSnTe:In осуществлялся в течение 5 h при температуре подложки  $T_{sub} = 320 \pm 5^\circ\text{C}$ . Использовались два испарителя — Pb<sub>0.74</sub>Sn<sub>0.26</sub>Te и In<sub>0.85</sub>Te<sub>0.15</sub> для легирования пленок индием в процессе роста. Их температура составляла 640 и 485°C соответственно. Толщина пленок PbSnTe:In составляла от 0.7 до 1.3 μm. Характерные



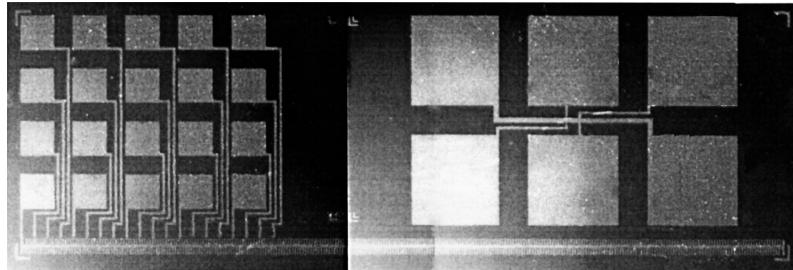
**Рис. 3.** Температурные зависимости тока пленок, выращенных в разных технологических условиях: 1, 1' — ток в темноте и ток при освещении пленки № 1; 2, 2' — ток в темноте и ток при освещении пленки № 2.

температуры зависимости тока в темноте и при освещении стандартным источником излучения — миниатюрной лампой накаливания для 2 таких пленок с разной концентрацией введенного индия, приведены на рис. 3. В интервале температур 300–30 К токи обеих пленок при и без освещения примерно равны, но ниже 30 К различие между темновыми токами увеличивается и достигает 3 порядков при температуре около 4.2 К. Для пленки № 2, у которой наблюдается больший темновой ток, фототок тоже больше, чем у пленки № 1. Такой широкий диапазон изменения свойств, которые управляются составом и изменением технологических режимов, позволяет хорошо согласовать выходные сопротивления и чувствительность элементов матрицы ФП с выходными параметрами мультиплексора.

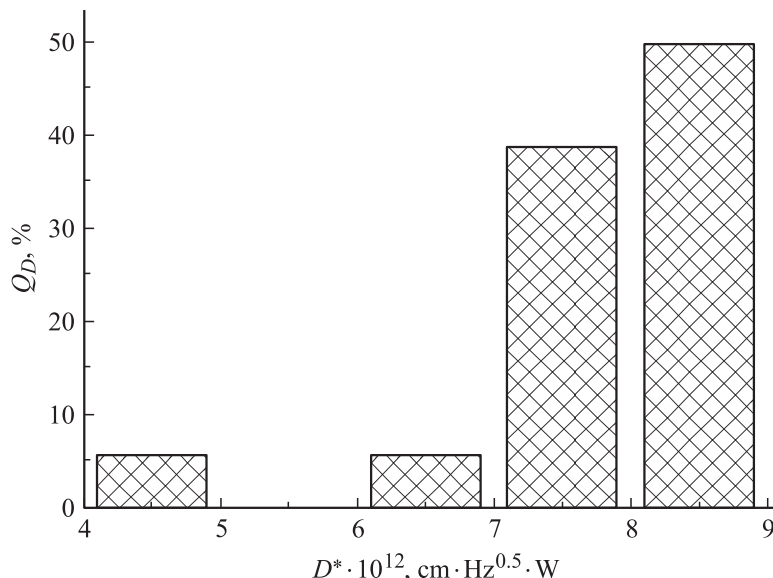
Структура Si/CaF<sub>2</sub>/BaF<sub>2</sub>/PbSn:In состоит из слоев с разными коэффициентами температурного расширения, а в процессе работы ФП, изготовленные на таких структурах, неоднократно охлаждаются до рабочих температур и нагреваются, что может привести к возникновению механических напряжений, изменению параметров пленки и даже к ее отслаиванию. До определения влияния резких скачков температуры на рабочие параметры пленки PbSnTe:In на кремни с буферным слоем было исследовано влияние термоциклирования — многократного охлаждения структуры Si/CaF<sub>2</sub>/BaF<sub>2</sub>/PbSnTe:In до 77 К и нагрева до комнатной температуры. Длительность каждого цикла „нагрев-охлаждение“ составила  $100 \pm 15$  с. После проведения 200 циклов „нагрев-охлаждение“ изменение концентрации и подвижности, тока в темноте и фототока у исследуемых структур во всем температурном диапазоне находилось в пределах  $\pm 20\%$ .

На полученных пленках методом фотолитографической техники были изготовлены линейки фотоприемников форматом  $288 \times 2$  элементов (размер элемента  $25 \times 25 \mu m$ ), смещенные по горизонтали относительно друг друга на  $25 \mu m$ . Для выборочного контроля параметров 19 фоточувствительных элементов были предусмотрены 20 контактных площадок размером  $600 \times 600 \mu m$  и тестовая холловская структура с шестью контактными площадками для контроля электрофизических свойств чувствительного слоя PbSnTe:In (рис. 4).

У 18 отдельных приемников были измерены их параметры. Использовался малошумящий источник напряжения на основе батареи напряжением 12 В. Сопротивление нагрузки составляло  $R_L = 5 M\Omega$  и



**Рис. 4.** Фотография кристалла с линейкой. Внизу собственно линейка  $288 \times 2$ , вверху слева — контактные площадки для тестирования элементов, вверху справа — холловская структура.



**Рис. 5.** Гистограмма распределения обнаружительной способности  $D^*$  элементов линейки по излучателю — модели абсолютно черного тела с температурой  $T_{BB} = 293$  К при рабочей температуре фотоприемника  $T_{ph} = 21.2$  К.  $Q_D$  — доля элементов с указанной обнаружительной способностью.

при всех значениях температуры, при которых проводились измерения, более чем на порядок превышало сопротивление фотоприемника  $R_{ph}$ . В качестве усилителя использовался селективный усилитель „Унипан-237“ с предусилителем 233.7, имеющим входное сопротивление  $100\text{ M}\Omega$ .

Измерения проводились при напряжении смещения  $U = 0.06$  В и температуре излучателя  $T_{BB} = 293$  К. Расстояние до излучателя составляло 85 mm; диаметр диафрагмы излучателя был равен 1.0 mm; размер элемента  $A = 25 \times 25\text{ }\mu\text{m}$ ; поток излучения  $P = 0.95 \cdot 10^{-11}$  W/element; ширина шумовой полосы  $\Delta f = 20$  Hz.

Гистограмма обнаружительной способности элементов линейки при рабочей температуре  $T = 21.2$  К приведена на рис. 5. Однородность параметров элементов линейки на кремнии существенно выше, чем на подложке из фтористого бария. За исключением 2 элементов с существенным отклонением от средних параметров, разброс чувствительно-

сти и темнового сопротивления отдельных 18 исследованных площадок составляет примерно  $\pm 15\%$ . Очевидно, более высокая однородность связана с более высокой однородностью подложки из BaF<sub>2</sub>/CaF<sub>2</sub>/Si по сравнению с подложками из монокристаллического фтористого бария.

Около 90% элементов обладают обнаружительной способностью от  $7.2 \cdot 10^{12}$  до  $8.7 \cdot 10^{12} \text{ cm} \cdot \text{Hz}^{0.5}/\text{W}$ . Сравнение обнаружительной способности ФП, изготовленных в структурах Si/CaF<sub>2</sub>/BaF<sub>2</sub>/PbSnTe : In, и элементов гибридного фотоприемника устройства с мультиплексорами [1] на основе пленок PbSnTe : In, выращенных тем же методом на монокристаллическом BaF<sub>2</sub>, показывает, что их параметры сравнимы: мощность, эквивалентная шуму, в первом случае при рабочей температуре  $T_{ph} = 15 \text{ K}$  для 90% элементов лучше, чем  $8 \cdot 10^{-17} \text{ W/Hz}^{0.5}$ , а во втором случае, но при  $T_{ph} = 21.2 \text{ K}$  для 90% элементов лучше, чем  $3 \cdot 10^{-16} \text{ W/Hz}^{0.5}$ .

Таким образом, впервые были получены пленки PbSnTe, легированные индием, на буферных слоях фторидов CaF<sub>2</sub> и BaF<sub>2</sub>, выращенных предварительно на пластинах (111) Si со свойствами, пригодными для создания на их основе фотоприемников. Разработаны фотошаблоны, изготовлен макет линейки фотоприемников и проведены измерения параметров ее элементов, которые показали, что они сравнимы с параметрами линеек ФП, полученных на BaF<sub>2</sub>.

Авторы благодарны Д.В. Щеглову и Т.А. Гавриловой за проведение измерений на атомно-силовом и электронном микроскопах.

Работа выполнена при поддержке Федерального агентства по науке и инновациям (контракт № 02.513.12.3030), РФФИ (грант 07-02-01336) и президиума СО РАН (проект № 107).

## Список литературы

- [1] Овсяк В.Н., Курышев Г.Л., Сидоров Ю.Г. и др. Матричные фотоприемные устройства инфракрасного диапазона. Новосибирск: Наука, 2001. С. 376.
- [2] Zogg H., Maissen S., Masek J., Hoshino T., Blunier S. // Mat. Res. Symp. Proc. 1991. P. 373.
- [3] Zogg P., Maissen S., Masek J., Hoshino T., Blunier S., Niwari A.N. // Semicond. Sci. Technol. 1991. V. 6. P. 36.
- [4] Васильева Л.Ф., Петиков Н.И., Клинов А.Э., Шумский В.Н. // Неорганические материалы. 2001. V. 37. С. 193.

05

## Магнитные свойства пленок кобальта на начальной стадии ионно-лучевого осаждения

© А.И. Стогний, **В.Ф. Мещеряков**, Н.Н. Новицкий,  
F. Fettar, M.B. Пашкевич

Научно-практический центр НАН Беларусь по материаловедению,  
Минск, Беларусь E-mail: stognij@ftp.bas-net.by  
Московский государственный институт радиотехники, электроники  
и автоматики (технический университет), Москва, Россия  
Институт кристаллографии РАН, Москва, Россия  
Institut NEEL, CNRS & Université Joseph Fourier BP166 F-38042 Grenoble  
Cedex 9, France  
Departament de Física, Universitat Autònoma de Barcelona,  
08193 Bellaterra, Spain

Поступило в Редакцию 23 декабря 2008 г.

Магнитные свойства пленок Со на Si(100) от момента зарождения и до перехода к объемоподобному состоянию были исследованы методами ФМР на частоте 9.55 GHz и SQUID-магнетометрии. Ширина линии ФМР в зависимости от толщины пленки Со характеризуется резким переходом от больших значений в интервале  $0.24 < \Delta H < 0.33$  kOe на начальной стадии осаждения к мало изменяющимся значениям  $\Delta H \leq 0.16$  kOe при толщине пленки Со более 1 nm. Аналогично, пленки Со толщиной до 1 nm обладают значительной коэрцитивной силой  $H_C > 0.54$  kOe при температуре 10 K, а слои большей толщины имеют  $H_C$  менее 0.15 kOe во всем интервале температур вплоть до 300 K. Большие значения  $\Delta H$  и  $H_C$  на начальной стадии зарождения пленок объясняются вкладом от переходного слоя Co/Si, формирующегося при воздействии „автооблучения“ высоконергетической составляющей из общего потока осаждаемых атомов Со, свойственной для процесса ионно-лучевого распыления в высоком вакууме, доля которых не превышает 10% от общего потока, для которых средняя длина пробега в растущем слое Со составляет 0.8 nm, а в Si — 1.2 nm. Обсуждаются условия использования пленок Со из переходного интервала значений толщин  $0.8 < t \leq 2$  nm для инжекции спин-поляризованного тока в Si при комнатной температуре.

PACS: 75.70.Ak, 76.50+g, 85.25.Dq